

ИССЛЕДОВАНИЕ АДРОННОЙ КОМПОНЕНТЫ ШАЛ
С ЭНЕРГИЕЙ БОЛЬШЕ 10^{13} ЭВ

С. К. Мачавардiani, Н. М. Нестерова, С. И. Никольский,
В. А. Ромахин, Е. И. Туккиш

УДК 539.171

Анализируются данные, полученные на Тянь-Шаньской комплексной установке относительно зависимости величины $\langle ER \rangle$ от числа частиц в ливнях с $N_e = 10^4 - 10^6$. Полученные результаты свидетельствуют о возможности роста перпендикулярного импульса во взаимодействиях частиц, начиная с энергией 10^{14} эВ.

В целом ряде работ /1 - 9/ пространственно-энергетические характеристики адронной компоненты ШАЛ обсуждаются при рассмотрении величины ER , где E - энергия адрона, R - расстояние от адрона до оси ливня. Величина ER более чувствительна к изменению перпендикулярного импульса вторичных частиц P_t , чем к изменению других характеристик взаимодействующих адронов и химического состава первичного космического излучения.

На Тянь-Шаньской установке /10/ исследовалась зависимость $\langle ER \rangle$ от числа частиц в ливне N_e для адронов с энергией более 1 ТэВ при N_e более $2 \cdot 10^5$ /6,8/. Было получено, что величина $\langle ER \rangle$ растет с увеличением полного числа частиц в ливне N_e , в то время как расчетное значение $\langle ER \rangle$ уменьшается с ростом N_e . Методическими погрешностями объяснить такую разницу в поведении $\langle ER \rangle$ не удалось. Полученный результат интерпретировался как рост среднего поперечного импульса P_t , более быстрый, чем следует из экстраполяции ускорительных данных в эту область энергий.

Целью данной работы было проследить изменение величины $\langle ER \rangle$ для адронов с энергией более 1 ТэВ в области меньших N_e , а именно, при $N_e = 10^4 - 10^5$. Такие ливни на уровне гор генерируются

первичными космическими частицами с энергией $10^{13} - 10^{14}$ эВ. Эта область энергий близка к ускорительной, где характеристики взаимодействий адронов более или менее хорошо известны.

Исследование адронной компоненты ШАЛ с числом частиц N_e более 10^4 , как и в работах /6,8/, осуществлялось с помощью ионизационного калориметра Тянь-Шаньской установки. Отбирались ливни, оси которых попадают в ковер сцинтилляционных счетчиков. Кроме того, требовалось, чтобы ось ливня проходила через поверхность ионизационного калориметра площадью 36 м^2 , расположенного под ковром сцинтилляционных счетчиков. Координаты оси ливня X, Y определялись по распределению плотности потока частиц в сцинтилляционных счетчиках, а затем уточнялись по калориметру. В последнем случае за координаты оси ливня принимались центры тяжести ионизации, зарегистрированной ионизационными камерами в I и 2 рядах калориметра. Толщина свинца под первым рядом — 2,5 см под вторым — 7,5 см. Оси камер в этих рядах расположены во взаимно перпендикулярных направлениях. Одновременно с ливнем, имеющим среднюю плотность потока частиц в сцинтилляционном ковре $\bar{\rho}_k > 5 \text{ м}^{-2}$, требовалось зарегистрировать энерговыделение в ионизационном калориметре (общей толщиной поглотителя 4,7 пробегов взаимодействия для нуклона) больше 1 ТэВ. Методом, описанном в работах /6,8/, в калориметре выделялись адронные струи, определялись координаты струи, энергия каждой струи E и расстояние от струи до оси ливня R. В ливнях с числом частиц $N_e = 10^4 - 10^5$ ошибка в определении энергии адронной струи составляет не больше 20%, ошибка в определении расстояния ΔR за счет неопределенности положения оси ливня не более 1 м. Аналогичным методом положение оси ливня определялось и для ливней с $N_e > 10^5$, для них $\Delta R = 0,6$ м.

Число частиц в ливнях со средней плотностью в ковре $\bar{\rho}_k = 5 - 178 \text{ м}^{-2}$ находилось методом, описанном в работе /II/. Все ливни разбивались на группы по величине $\bar{\rho}_k$: 1) $5 - 18 \text{ м}^{-2}$, 2) $18 - 38 \text{ м}^{-2}$, 3) $38 - 82 \text{ м}^{-2}$, 4) $82 - 178 \text{ м}^{-2}$. Зная среднюю плотность потока электронов для группы ливней на расстоянии 6 м и 73 м от оси ливня и используя аппроксимацию Нишимуры-Каматы-Грайзена /12/, находилось среднее значение числа частиц в группе ливней N_e . Ошибка в определении N_e составляет $\sim 30\%$ для первого интервала $\bar{\rho}_k$ и $\sim 20\%$ для последнего. В каждой группе

не ливней находилось среднее значение величины $\langle ER \rangle = \frac{n}{i} E_i R_i / n$, где i – число зарегистрированных адронных струй в данной группе ливней. Полученные значения $\langle ER \rangle$ приведены на рис. I. На этом же рисунке приведены значения $\langle ER \rangle$, полученные в ливнях с $N_e > 2 \cdot 10^5$ (треугольники), взятые из работ /6,8/. Отличие между данной работой и /6,8/ заключается в том, что в последнем случае за ось ливня принималась струя с максимальной энергией. В ливнях с

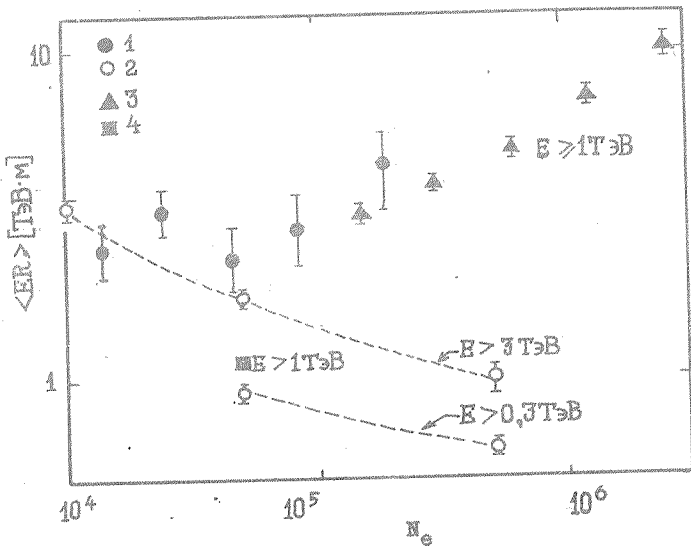


Рис. I. Зависимость $\langle ER \rangle$ от полного числа частиц в ливне N_e : 1 – настоящая работа; 2 – расчет В. А. Ромахина /8/; 3 – экспериментальные данные /6,8/; 4 – расчет Ю. А. Фомина /13/.

$N_e > 10^5$ полученные нами значения $\langle ER \rangle$ совпадают в пределах ошибок с приведенными ранее в /6,8/. Таким образом, из рисунка видно, что $\langle ER \rangle$ растет с числом частиц N_e для ливней $N_e > 10^5$. При меньших ливнях $\langle ER \rangle$ меняется слабо и значения $\langle ER \rangle$ близки к расчетным в предположении нормальных поперечных импульсов:

$p_t = 0,4$ ГэВ/с /6,8/. В малых ливнях ($N_e < 10^5$) мы также попытались определить $\langle ER \rangle$ только в тех событиях, когда зарегистрированы две адронные струи или более с энергией > 1 ТэВ, причем струя с максимальной энергией считалась осью ливня. Значения $\langle ER \rangle$ оказались близкими к тем, которые представлены на рисунке в том же интервале N_e .

Такое поведение $\langle ER \rangle$ для адронов с энергией $E > 1$ ТэВ при изменении N_e от 10^4 до 10^6 можно интерпретировать как постоянство или слабый рост перпендикулярного импульса P_\perp вторичных частиц до энергий взаимодействующих адронов $\sim 10^{14}$ эВ и более быстрый рост выше 10^{14} эВ.

Поступила в редакцию
5 июня 1980 г.

Л и т е р а т у р а

1. A. M. Bray, C. B. A. McCusker et al., *Acta phys. Hung.* **29**, Suppl. 3, 501 (1970).
2. B. C. Асеинкин и др., Изв. АН СССР сер. физ. **37**, № 7, 1415 (1973).
3. R. H. Vatcha, B. V. Sreekantan, *J. Phys. A: Math. Nucl.*, Gen. **6**, 1050 (1973).
4. E. Bohm, C. Holtrup, *Core Structure of the Hadron Component*, in EAS, Preprint, Lodz, 1974.
5. V. S. Aseikin et al., Proc. 14-th ICCR, Munich, 8, 2807, 1975.
6. B. A. Ромахин, Н. М. Нестерова, Труды ФИАН, **109**, 77 (1979).
7. F. A. Ashton, A. Nasri, J. A. Ward, Proc. 15-th ICCR, Plovdiv **8**, 1976, 1977.
8. N. M. Nesterova, V. A. Romakhin, Proc. 15-th ICCR, Plovdiv **8**, 113, 1977.
9. R. Van Staa, B. Ashenbach, E. Bohm, *J. Phys. A: Math., Nucl.*, and Gen., **7**, N1, 135 (1974).

10. A. D. Erlykin et al., Proc. 9-th ICCR, London, 2, 731, 1965.
11. C. K. Machavariani et al., Proc 16-th ICCR, Kioto, 8, 240, 1979.
12. K. Kamata, J. Nishimura, Prog. Theor. Phys. Suppl. 6, 93 (1958).
13. D. A. Фомин. Автореферат кандидатской диссертации. М., МГУ, 1972 г.